

# 磁化水受激布里渊散射(SBS)的实验研究

周仲璧 刘新民 杨经国 余学君

(四川大学物理系)

以一定速度流过适当强度的磁场后的水称为磁水或磁化水。磁化水在许多情况下呈现出一些值得注意的生物和非生物效应，在工农业、医学和日常生活各方面得到愈来愈广泛的应用，取得了一定的效果。关于磁化水所引起的各种效应的机理也有了多种理论和设想。但是，就目前来看，无论是磁化水的效应及其应用，还是磁化水效应的机理研究方面，都还处于实验和探索的阶段<sup>[1]</sup>。因此，为了给磁化水的应用和进一步发展提供依据，有必要从多方面开展相应的工作。本文试图通过水在磁化前后布里渊散射频移的比较，为磁化水的一些应用和机理研究提供一定的依据。

由磁水效应的热力学理论推知，磁场会改变水的密度<sup>[2]</sup>和比热，因而改变水的超声传播速度，实验上也已观察到这种变化<sup>[3,4]</sup>。布里渊散射正是由于介质的密度起伏引起超声振荡，入射光受超声场调制而形成的。因此，磁化水的上述性质可以通过受激布里渊散射进行研究。布里渊散射光频率与入射光频率之差  $\Delta\nu_B$  满足下列关系<sup>[5]</sup>：

$$\Delta\nu_B = \nu_{as} - 2\nu_0 \left( \frac{n\nu_{ac}}{c\gamma} \right) \sin \frac{\theta}{2}, \quad (1)$$

式中  $\nu_{as}$  为超声频率， $\nu_0$  为入射光频率， $n$  为介质折射率， $\nu_{ac}$  为介质声速， $\gamma$  为定容比热与定压比热之比（对固体和液体， $\gamma \sim 1$ ）， $\theta$  为入射光波矢与散射光波矢的夹角， $c$  为真空中的光速。从（1）式可知， $\theta$  为  $180^\circ$  时频移最大。实验中，我们正是利用这一后向散射测试的。

## 一、实验装置和实验结果

本实验所用磁化装置是重庆九龙坡电器厂

生产的 MC-2 型磁化器。磁化器所用磁铁为环状永久磁铁，外径 56 毫米，内径 19.5 毫米，长 48 毫米，腔内磁场强度约 1000 高斯。使用时，水由腔的一端流入，由另一端流出。

受激布里渊散射实验装置如图 1 所示。红宝石激光器用隐花青的乙醇溶液（该溶液对 6943 埃波长的光的透光率  $\sim 40\%$ ）调  $Q$ ，激光器输出的激光波长为 6943 埃，激光输出能量  $\sim 1$  焦耳，脉宽  $\sim 30$  毫微秒。激光经分束器后由透镜聚焦进入样品池，池长 20 厘米。布里渊后向散射 ( $\theta = 180^\circ$ ) 由分束器（即半透片，它对 6943 埃波长的光的透光率  $\sim 65\%$ ）反射进入摄谱仪，并经鲁末板（板厚  $d = 4.45$  毫米，折射率  $\mu_0 = 1.5086$ ）干涉摄谱。用平面反射镜使 6943 埃激光的另一部分也反射入鲁末板，在干涉图上同时记录下入射激光和布里渊后向辐射的干涉条纹，以便测定布里渊频移。鲁末板频差的计算公式为<sup>[6]</sup>

$$\Delta\nu_B = \frac{r_{P'}^2 - r_P^2}{r_{P-1}^2 - r_P^2} \Delta\nu_0, \quad (2)$$

式中  $\Delta\nu_0$  为鲁末板自由光谱范围

$$\left( \Delta\nu_0 = \frac{1}{2d} / \sqrt{\mu_0^2 - 1} = 0.995 \text{ 厘米}^{-1} \right)$$

$r_{P'}$ ,  $r_P$  和  $r_{P-1}$  分别为散射光第  $P$  干涉级、入射光第  $P$  和  $P-1$  干涉级干涉条纹半径（干涉级次从外向内逐渐增高）。

实验中采用自来水，将水以一定流速通过磁化器后再装入样品池中，然后以一定时间间隔作散射摄谱。我们在不同流速下得出五组实验结果。图 2 为用 400 毫升/分流速通过磁化器的水所得的照片，除 1 和 11 两排为激光干涉条纹外，其余均为激光和布里渊散射光干涉条纹，从 2 到 10 依次为经磁化器后 5 分钟开始每

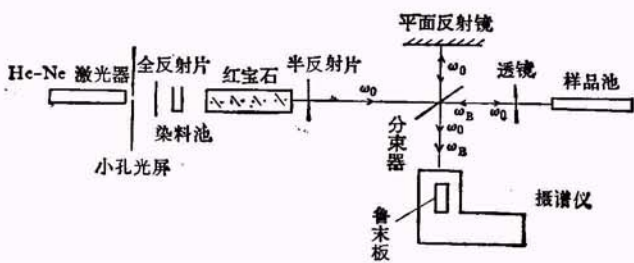


图1 受激布里渊散射实验装置方框图

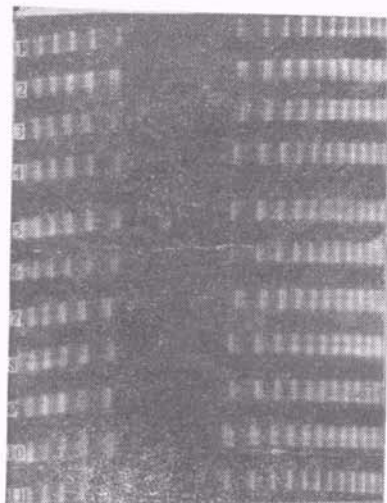


图2 6943 埃激光和布里渊散  
射光的干涉条纹照片

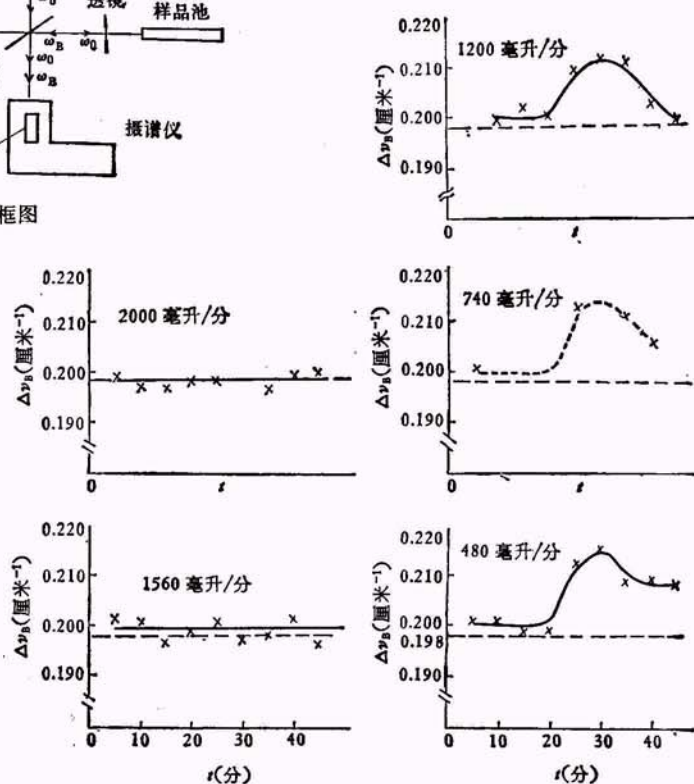


图3 以不同流速通过磁化器的水的布里渊频移  $\Delta\nu_B$   
与流过磁化器后的时间  $t$  的关系曲线

隔5分钟摄得的结果。图3为用不同流速通过磁化器的水所摄照片算出的曲线。纵坐标为布里渊频移  $\Delta\nu_B$ ，横坐标为经磁化器后停留的时间  $t$ 。为了便于比较，对同时测定的未进行磁化的水的布里渊散射频移，我们在图中用短线标出，其值为  $0.198 \text{ 厘米}^{-1}$ 。图上方的数字为流速。流速为 740 毫升/分时，所测数据不足，曲线用虚线表示；流速为 2000 毫升/分时，曲线（直线）与短线相重合。所测各点的标准误差为  $\pm 0.004 \text{ 厘米}^{-1}$ 。

## 二、讨 论

1. 从实验结果看出，由于磁场的作用，确实使水的布里渊散射频移发生了变化，即磁场对水的作用导致水的密度改变，从而改变了超声

在水中的传播速度，这一结论与若干文献所得结论一致<sup>[3,4]</sup>。但是，我们是在与他们不相同的条件下得到的。根据公式(1)，在得出布里渊频移的同时，如能直接测出超声声速的变化（例如参照文献[3]中的方法），则有可能从实验上研究磁场对水比热的影响。

2. 由曲线可以看出磁化水的若干规律性：

(1) 水的磁化特性与水流过磁化器的速度密切相关。当水速低于 1200 毫升/分时，布里渊频移的变化显著，速度变小时，其变化峰值增大；当水速高于 1560 毫升/分时，基本上无甚变化；当水速到 2000 毫升/分时，则完全没有变化。

(2) 水的磁化特性也与水通过磁化器后的时间密切相关。在水通过磁化器后的一段时间内，其布里渊频移的变化是很小的，25 分钟左

右才显著增大，在30分钟附近出现一峰值，以后开始减小，减小的速度与水磁化时流过磁化器的速度有关，随流速的增大，减小的速度也加大。

显然，上述规律性有助于选择磁化器的最佳工作状态。这些规律与文献[3]中的有关结论是一致的。

上面结果说明，可以利用受激布里渊散射的方法研究磁化水的特性和机理。这一方法装置较简单，可作为研究磁化水的有效手段之一。本文介绍的实验方法和实验结果，对于研究磁

化水的应用和机理都是相当有用的。

## 参 考 文 献

- [1] 李国栋，中华物理医学杂志，1(1979)，103.
- [2] Н. И. Лычагин, В сб. вопр. теор. и практ.магнит. обработ. воды и вод. систем, (1971), 41.
- [3] П. И. Тосков и др., Изв. высш. учеб. завед. сер. физ., 12 (1971), 48.
- [4] Л. А. Балтыш, II Всесоюзное совещание по электрической обработке материалов, Кишинев, Октябрь, (1969).
- [5] N. Bloembergen and Y. R. Shen, Phys. Rev. A, 137(1965), 1787.
- [6] C. 坎恩达勒，近代干涉仪，上海科学技术出版社，(1959)。

# 关于用离子束刻蚀作剖面分析时深度值的定标问题

余 觉 觉 王 维 明

(中国科学院半导体研究所)

## 一、引言

俄歇电子能谱和光电子能谱结合离子束刻蚀逐层检测，可以获得剖面分布曲线。一般说来，这样做的结果只能得到信号-时间( $t$ )的关系。实际应用中需要把这种关系转换为信号与厚度 $Z$ 的关系。本文以 $\text{SiO}_2/\text{Si}$ 为例，讨论如何进行转化。

## 二、分 析

在溅射时间 $t_1$ 后刻蚀的层厚 $Z$ 为<sup>[1]</sup>

$$Z = \int_0^{t_1} \dot{Z} dt, \quad (1)$$

其中 $\dot{Z}$  (溅射速率)为

$$\dot{Z} = \frac{M}{\rho N_A e} S_M j_p, \quad (2)$$

式中 $M$ 为(平均)原子量， $\rho$ 为(平均)密度， $N_A$ 为阿伏伽德罗常数， $e$ 为基本电荷， $S_M$ 为(平均)溅射产额(原子/离子)， $j_p$ 为一次束流密度。若溅射速率为常数，(1)式可简化为

$Z(t) = \dot{Z} t. \quad (3)$   
对于均匀样品， $M$ 和 $\rho$ 为常数。又若测试条件一定使 $S_M$ 和 $j_p$ 固定不变(注意：可以不

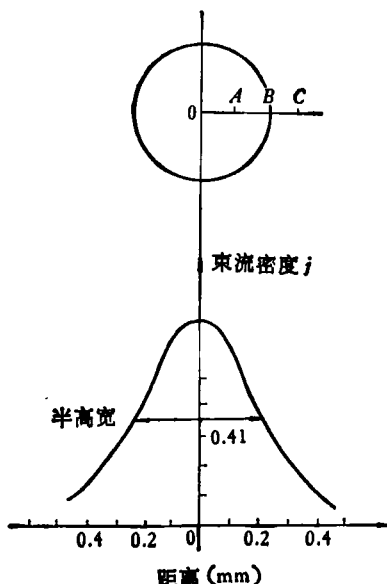


图1 离子束斑内的束流密度分布  
(0点为离子束斑中心点)

$$\begin{aligned} i_A/i_0 &= 86\%; & i_B/i_0 &= 51\%; \\ i_B/i_A &= 59\%; & i_C/i_0 &= 23\% \end{aligned}$$